

Табл. 3. Плотность электронов проводимости  $n$  и энергия Ферми  $\epsilon_F$  ряда металлов

Металл	Li	Na	Cu	Ag	Be	Ca	Zn	Al	Pb
$n, 10^{22} \text{ см}^{-3}$	4,7	2,65	8,45	5,85	24,2	4,6	13,1	18,6	13,2
$\epsilon_F, 10^4 \text{ K}$	5,5	3,75	8,1	6,4	16,4	5,4	10,9	13,5	10,9

Природа металлического состояния. Мн. характерные свойства М. можно понять, считая, что электроны проводимости — идеальный вырожденный газ фермионов, а роль ионов сводится к созданию потенциальной ямы, в к-рой движутся электроны (модель Друде — Лоренца — Зоммерфельда; см. *Другие теории металлов, Зоммерфельда теория металлов*). Темп-ра вырождения  $T_F$  электронного газа в этой модели определяется энергией Ферми  $\epsilon_F$ :

$$T_F = \epsilon_F/k, \quad \epsilon_F = \frac{(3\pi^2 n)^{2/3} \hbar^2}{2m}$$

( $m$  — масса электрона). Темп-ра  $T_F \approx 10^4 - 10^5$  К. Поэтому практически при любой темп-ре  $T$ , при к-рой вещества существует в конденсиров. состоянии, электронный газ в М. вырожден ( $T < T_F$ ) (см. *Вырождение температура, Вырожденный газ*).

Более полное и строгое объяснение свойств М. даёт *зональная теория твёрдого тела*. Зонная теория исходит из рассмотрения движения отд. электрона в периодич. поле сил  $U(r)$ , создаваемых ионами кристаллич. решётки и остальными электронами (одноэлектронное приближение):

$$U(r+a) = U(r),$$

где  $r$  — пространств. координата точки,  $a$  — период решётки (см. *Блоховские электроны*). Хотя энергия взаимодействия электронов друг с другом не меньше, чем энергия взаимодействия с ионами, одноэлектронное приближение имеет обоснование. Во-первых,  $U(r)$  включает совокупное действие всех остальных электронов, кроме рассматриваемого, причём для качеств. выводов потенциал  $U(r)$  можно не конкретизировать, используя только его свойства симметрии (прежде всего периодичность). Во-вторых, построив одноэлектронное приближение, можно обобщить его, учтя взаимодействие между электронами проводимости (на основании теории *ферми-жидкости*).

Периодичность  $U(r)$  позволяет характеризовать стационарное состояние электрона проводимости *квазимпульсом*  $p = \hbar k$  ( $k$  — квазиволновой вектор), аналогичным импульсу частицы в свободном пространстве. Волновая ф-ция электрона в стационарном состоянии — решение Шредингера уравнения для электрона, отвечающая собств. значению энергии электрона  $\epsilon_s$ . И волновая ф-ция и собств. значение энергии (в отличие от случая свободного электрона) — периодич. ф-ции квазимпульса. Периодичность в импульсном пространстве — следствие полной физ. эквивалентности состояний с квазиволновыми векторами, отличающимися на  $2\pi/\hbar b$ . Это означает, что для полного описания всех состояний достаточно использовать  $p$  из одной ячейки обратного пространства. Как правило, её выбирают в виде первой Брилюэна зоны. Индекс  $s$ , нумерующий решения ур-ния Шредингера, наз. номером зоны,  $\epsilon_s(p)$  — законом дисперсии электронов или электронным спектром кристалла, соответствующим полю  $U(r)$ . В каждой разрешённой энергетич. зоне состояния электронов заполняют полосу между  $\epsilon_{\min}$  и  $\epsilon_{\max}$ . Зоны могут перекрываться, но их индивидуальность при этом сохраняется. Пересятие зон, как правило, не сопровождается вырождением. Вырождение наступает при совпадении энергий (из разных зон) и квазимпульсов. Вырождение накладывает ограничение на структуру изоэнергетич. поверхности вблизи точки вырождения. С помощью законов дисперсии можно рассчитать плотность электронных состояний в зоне  $\Omega_s(\epsilon)$ .

Сходство и различие между свободными электронами и электронами проводимости иллюстрируется табл. 4.

Табл. 4.

Свободный электрон	Электрон проводимости
Стационарная волновая функция	
$\psi = A \exp(ipr/\hbar)$	$\psi_s = u_s(r) \exp(ipr/\hbar)$
$A = \text{const}$	$U_s(r+a) = U_s(r)$
Энергия	
$\epsilon = p^2/2m_0$	$\epsilon_s(p) = \epsilon_s(p + 2\pi\hbar b)$ , где $b$ — вектор обратной решётки
Изоэнергетическая поверхность	
$Sfera$	периодич. поверхность
$p^2 = 2m\epsilon$	$\epsilon_s(p) = \text{const}$
Скорость	
$v = p/m_0$	$v(p) = \frac{\partial \epsilon(p)}{\partial p}$
Масса	
$m_0$	тензор обратных эффективных масс $\left(\frac{1}{m}\right)_{ik} = \frac{\partial^2 \epsilon}{\partial p_i \partial p_k}$ эффективная масса в магн. поле $H(H_x = H_y = 0, H_z = H)$ $m = \frac{1}{2\pi} \frac{\partial S(\epsilon, p_z)}{\partial \epsilon}$ ( $S$ — площадь сечения изоэнергетич. поверхности $\epsilon(p) = \text{const}$ плоскостью $p_z = \text{const}$ )
Законы сохранения при столкновении двух электронов	
$p_1 + p_2 = p'_1 + p'_2$	$\epsilon_1 + \epsilon_2 = \epsilon'_1 + \epsilon'_2$
Плотность состояний ( $V$ — объём кристалла)	
$\Omega_s(\epsilon) = \frac{V}{(2\pi\hbar)^3} \sqrt{2m_0^3 \epsilon}$	$\Omega_s(\epsilon) = \frac{2V}{(2\pi\hbar)^3} \oint v(p) \frac{df}{d\epsilon}$ где $df$ — элемент площади на поверхности $\epsilon(p) = \epsilon$ , по которой ведётся интегрирование
Энергия Ферми	
$\epsilon_F = \frac{(3\pi^2 n)^{2/3} \hbar^2}{2m_0}$	$\frac{\Omega_s(\epsilon_F)}{4\pi^3 \hbar^3} = n_s$ ( $\Omega_s$ — объём в $p$ -пространстве листа поверхности Ферми в $s$ -й зоне, $n_s$ — плотность в ней электронов)

Зонный характер спектра и Паули принцип позволяют сформулировать принципиальное отличие М. от диэлектрика. Т. к. в каждую зону может «поместиться» не более  $2N$  электронов ( $N$  — число ячеек в кристалле), то в зависимости от числа электронов, приходящихся на ячейку, и взаимного расположения зон могут осу-

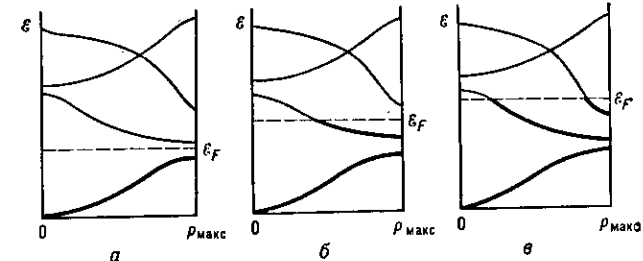


Рис. 1. Схема заполнения зон диэлектрика или полупроводника (а), металла (б), полуметалла (с). Жирные линии  $\epsilon(p)$  — заполненные состояния, тонкие — пустые; пунктир — уровень химического потенциала, совпадающий в металлах с энергией Ферми  $\epsilon_F$  при  $T = 0$  К,  $p_{\max}$  — максимальный квазимпульс, соответствующий границе зоны Брилюэна.